

УДК 539.313+517.957

## НЕЛИНЕЙНАЯ МОДЕЛЬ ТРУБОПРОВОДА В ПОЛЕ СИЛЫ ТЯЖЕСТИ С ДВИЖУЩЕЙСЯ ПО НЕМУ ИДЕАЛЬНОЙ ЖИДКОСТЬЮ

В. В. Башуров, Н. А. Ваганова\*, А. И. Кропотов,  
М. В. Пчелинцев\*\*, Н. А. Скоркин\*\*, М. Ю. Филимонов\*

Центр экологического и техногенного мониторинга, 456080 Трехгорный

\* Институт математики и механики УрО РАН, 620219 Екатеринбург

\*\* Снежинский физико-технический институт — филиал Национального  
исследовательского ядерного университета “МИФИ”, 456770 Снежинск  
E-mails: cetm@atlint.ru, n.a.scorkin@rambler.ru, fmy@imm.uran.ru

Предложена нелинейная модель, описывающая перемещение трубопровода с движущейся по нему жидкостью и позволяющая рассмотреть ряд прикладных задач, не имеющих решения в рамках линейной модели. Решена задача о равновесии трубы с движущейся по ней жидкостью в поле силы тяжести. Построено точное решение уравнения упрощенной нестационарной модели.

Ключевые слова: трубопровод, равновесие, деформация, точное решение.

**1. Вывод уравнений движения и постановка задачи.** В работе [1] рассмотрена математическая модель заполненного движущейся жидкостью или газом трубопровода, размещенного в болотистой местности. На трубопровод действуют упругие силы, обусловленные деформацией стенок трубы, центробежная сила, вызванная движением жидкости по трубе, и сила реакции грунта, оказывающего сопротивление перемещению трубы. Модель представляет собой линейное дифференциальное уравнение в частных производных четвертого порядка, в котором независимыми переменными являются время и длина трубопровода, а искомой функцией — смещение трубопровода относительно начального положения. Сила сопротивления среды движению трубопровода зависит от скорости перемещения трубы, что обуславливает нелинейность уравнений данной модели.

На рис. 1 показаны элемент трубы и силы, действующие на него ( $\mathbf{T}$  — сила “натяжения” трубы, направленная по касательной к кривой  $y(x)$ ;  $\mathbf{P}$  — вес элемента трубы;  $\mathbf{F}$  — центробежная сила, обусловленная движением по трубе жидкости плотностью  $\rho_0$  со скоростью  $v$ , считающейся постоянной). Будем моделировать трубу упругой нитью длиной  $L$ . Сила упругости, возникающая вследствие изменения начальной длины элемента нити, определяется законом Гука  $T = E\varepsilon S$ , где  $E$  — модуль Юнга;  $\varepsilon$  — относительная линейная деформация;  $S$  — площадь сечения нити.

---

Работа выполнена при частичной финансовой поддержке Российского фонда фундаментальных исследований (код проекта РФФИ-Урал 10-08-96014) и в рамках интеграционных проектов УрО РАН, СО РАН и ДВО РАН (грант № 09-С-1-1004).

© Башуров В. В., Ваганова Н. А., Кропотов А. И., Пчелинцев М. В.,  
Скоркин Н. А., Филимонов М. Ю., 2012

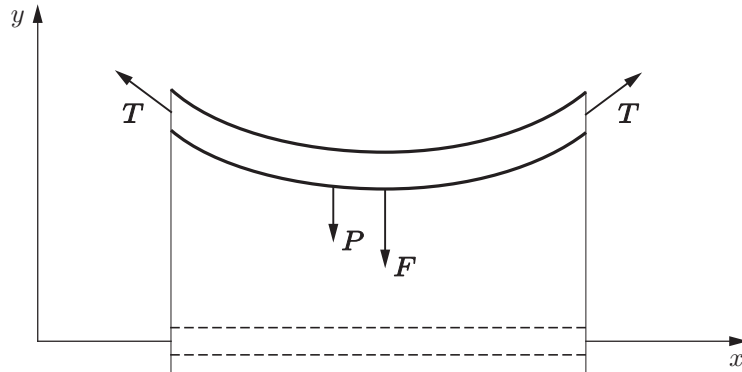


Рис. 1. Элемент трубы и действующие на него силы

Каждая точка трубы определяется координатой  $s$  (лагранжевой координатой), которая соответствовала ей в начальный момент, когда труба находилась в состоянии равновесия. При деформации трубы точка смещается как по вертикали, так и по горизонтали. Можно считать, что движение точки описывается двумя уравнениями

$$x = x(s, t), \quad y = y(s, t). \quad (1)$$

Выведем уравнения перемещения трубы с движущейся по ней жидкостью. Проекция на оси  $x$  и  $y$  упругих сил, приходящихся на единицу площади, имеют вид

$$T_x = E \frac{\partial}{\partial s} \left( \frac{\sqrt{y_s'^2 + x_s'^2} - 1}{\sqrt{y_s'^2 + x_s'^2}} \frac{\partial x}{\partial s} \right), \quad T_y = E \frac{\partial}{\partial s} \left( \frac{\sqrt{y_s'^2 + x_s'^2} - 1}{\sqrt{y_s'^2 + x_s'^2}} \frac{\partial y}{\partial s} \right).$$

Проекция силы тяжести на ось  $y$  равна  $-\rho g$ . Плотность  $\rho$  представляет собой средневзвешенную сумму плотностей материала трубы и жидкости. Проекция центробежной силы можно представить в виде

$$F_x = -\rho_0 v^2 \frac{\partial^2 x}{\partial s^2}, \quad F_y = -\rho_0 v^2 \frac{\partial^2 y}{\partial s^2}.$$

В этом случае система уравнений, описывающая перемещение трубопровода, имеет вид

$$\begin{aligned} \rho \frac{\partial^2 x}{\partial t^2} &= E \frac{\partial}{\partial s} \left( \frac{\sqrt{y_s'^2 + x_s'^2} - 1}{\sqrt{y_s'^2 + x_s'^2}} \frac{\partial x}{\partial s} \right) - \rho_0 v^2 \frac{\partial^2 x}{\partial s^2}, \\ \rho \frac{\partial^2 y}{\partial t^2} &= E \frac{\partial}{\partial s} \left( \frac{\sqrt{y_s'^2 + x_s'^2} - 1}{\sqrt{y_s'^2 + x_s'^2}} \frac{\partial y}{\partial s} \right) - \rho_0 v^2 \frac{\partial^2 y}{\partial s^2} - \rho g. \end{aligned} \quad (2)$$

Задача о равновесии сводится к решению системы (2) с нулевой левой частью. Граничные условия для этой системы имеют вид

$$x(0, t) = y(0, t) = 0, \quad x(L, t) = L, \quad y(L, t) = 0.$$

Ниже рассматриваются как полная система (2) (“сложная” модель), так и упрощенная (“простая” модель).

**2. “Простая” модель.** Рассмотрим тонкую трубу длиной  $L$  с площадью сечения  $S$ , полагая, что  $\sqrt{S} \ll L$ . В дальнейшем будем моделировать трубу упругой нитью, форма которой описывается кривой  $y = y(x)$ . В этом заключается отличие “простой” модели от “сложной” модели, в которой движение трубы описывается уравнениями (1). Как и в классической модели струны, предполагается, что смещение точек трубы в горизонтальном направлении отсутствует. Это предположение верно, если  $\partial y / \partial s \ll 1$  и  $\partial x / \partial s \approx 1$ .

Пусть по трубе движется жидкость плотностью  $\rho_0$  со скоростью  $v$ . На элемент единичной длины стенки трубы со стороны жидкости действует центробежная сила  $F = \rho_0 S v^2 / R$  ( $R$  — радиус кривизны кривой  $y(x)$ ), направленная по нормали к кривой  $y(x)$ . Будем считать, что в начальный момент времени труба расположена параллельно оси  $x$ , начальные напряжения отсутствуют, поэтому на трубу действует только сила тяжести. Первоначальная невозмущенная форма трубы может изменяться. В этом случае появляются как упругие силы, стремящиеся вернуть трубу в исходное положение, так и центробежные силы инерции, действующие в направлении, противоположном направлению упругих сил. Эти силы определяют деформацию трубы, а следовательно, и величину напряжений в оболочке трубы, которая может превысить допустимую величину.

Выведем уравнение изогнутой трубы в предположении, что деформации и их производные по пространству малы. В этом случае сила упругости определяется по формуле

$$T = ES \left( \frac{\partial y}{\partial x} \right)^2,$$

где  $E$  — модуль Юнга. При выводе этой формулы не учитывались бесконечно малые второго и более высоких порядков. Центробежная сила вычисляется следующим образом:

$$F = \rho_0 S v^2 \left[ 1 + \left( \frac{\partial y}{\partial x} \right)^2 \right]^{-3/2} \frac{\partial^2 y}{\partial x^2}.$$

Уравнение движения трубы имеет вид

$$m \frac{\partial^2 y}{\partial t^2} = ES \left( \frac{\partial y}{\partial x} \right)^2 \frac{\partial^2 y}{\partial x^2} - \rho_0 S v^2 \left[ 1 + \left( \frac{\partial y}{\partial x} \right)^2 \right]^{-3/2} \frac{\partial^2 y}{\partial x^2} - \rho S g, \quad (3)$$

где  $m$  — масса элемента трубы единичной длины, представляющая собой сумму масс стенки трубы и жидкости в данном элементе трубы.

Отметим, что в отличие от линейного уравнения, полученного без учета внешних сил в работе [1], уравнение (3) является нелинейным.

Рассмотрим равновесие в поле силы тяжести упругой трубы, по которой движется жидкость со скоростью  $v$ . Полагая в уравнении (3) производную по времени равной нулю, получаем уравнение равновесия

$$E \left( \frac{dy}{dx} \right)^2 \frac{d^2 y}{dx^2} - \rho_0 v^2 \left[ 1 + \left( \frac{dy}{dx} \right)^2 \right]^{-3/2} \frac{d^2 y}{dx^2} = \rho g. \quad (4)$$

При  $v = 0$  первый интеграл в уравнении (4) принимает вид

$$E w^3 / 3 = \rho g x + A, \quad (5)$$

где  $w = dy/dx$ ;  $A$  — неизвестная константа. Решение уравнения (5) имеет вид

$$y = (3Kx + A)^{4/3} / (4K) + B,$$

где  $B$  — произвольная постоянная;  $K = \rho g / E$ .

Используя условия жесткого закрепления трубы  $y(0) = 0$ ,  $y(L) = 0$ , получаем систему двух уравнений для произвольных постоянных

$$A^{4/3} / (4K) + B = 0, \quad (3KL + A)^{4/3} / (4K) + B = 0,$$

решение которой имеет вид

$$y = (3Kx - 3KL/2)^{4/3} / (4K) - (3KL/2)^{4/3} / (4K).$$

Максимальный прогиб трубы равен  $(3KL/2)^{4/3} / (4K)$  и достигается в ее середине. Методом стрельбы получено решение уравнения (4) при следующих значениях параметров:

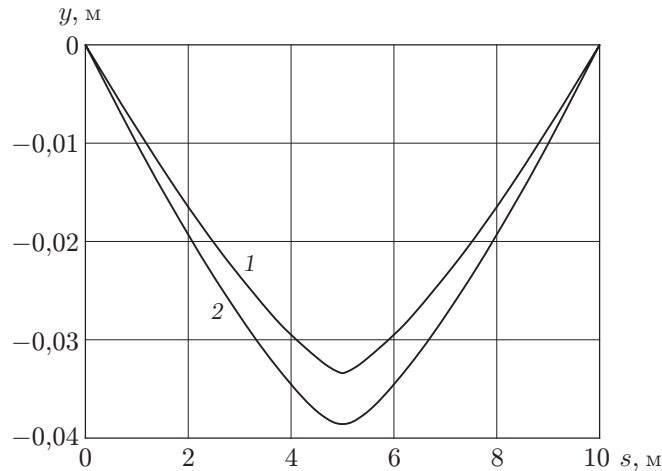


Рис. 2. Прогибы трубы, рассчитанные по “простой” модели при различных значениях скорости жидкости:  
1 —  $v = 0$ ; 2 —  $v = 10$  м/с

$E = 210 \cdot 10^9$  Па,  $\rho = 1500$  кг/м<sup>3</sup>,  $L = 10$  м,  $g = 9,8$  м/с<sup>2</sup>,  $\rho_0 = 1000$  кг/м<sup>3</sup>. На рис. 2 представлены решения уравнения (4) при  $v = 0, 10$  м/с.

**3. “Сложная” модель.** Рассмотрим “сложную” модель трубы, находящейся в состоянии равновесия в поле силы тяжести:

$$E \frac{d}{ds} \left( \frac{\sqrt{(x')^2 + (y')^2} - 1}{\sqrt{(x')^2 + (y')^2}} y' \right) - ay'' = b, \quad E \frac{d}{ds} \left( \frac{\sqrt{(x')^2 + (y')^2} - 1}{\sqrt{(x')^2 + (y')^2}} x' \right) - ax'' = 0.$$

Здесь  $a = \rho_0 v^2$ ;  $b = \rho g$ . Первые интегралы этой системы имеют вид

$$E \left( \frac{\sqrt{(x')^2 + (y')^2} - 1}{\sqrt{(x')^2 + (y')^2}} - \frac{a}{E} \right) y' = bs + c_1, \quad E \left( \frac{\sqrt{(x')^2 + (y')^2} - 1}{\sqrt{(x')^2 + (y')^2}} - \frac{a}{E} \right) x' = c_2. \quad (6)$$

Из (6) следует зависимость  $y' = \gamma(s)x'$ , где  $\gamma(s) = (bs + c_1)/c_2$ . С использованием этой зависимости можно проинтегрировать уравнения

$$x(s) = \frac{c_2}{E-a} s + \frac{E}{E-a} \frac{c_2}{b} \ln |\gamma(s) + \sqrt{\gamma^2(s) + 1}| + c_3,$$

$$y(s) = \frac{b}{E-a} \frac{s^2}{2} + \frac{c_1}{E-a} s + \frac{E}{E-a} \frac{c_2}{b} \sqrt{1 + \gamma^2(s)} + c_4.$$

Константы интегрирования  $c_1, c_2, c_3, c_4$  определяются из граничных условий  $y(0) = 0, y(L) = 0, x(0) = 0, x(L) = L$ :

$$\frac{Ec_2}{(E-a)b} \ln |\gamma(0) + \sqrt{\gamma^2(0) + 1}| + c_3 = 0, \quad \frac{Ec_2}{(E-a)b} \sqrt{\gamma^2(0) + 1} + c_4 = 0,$$

$$\frac{c_2 L}{E-a} + \frac{Ec_2}{(E-a)b} \ln (\gamma(L) + \sqrt{\gamma^2(L) + 1}) + c_3 = L, \quad (7)$$

$$\frac{bL^2}{2(E-a)} + \frac{c_1 L}{E-a} + \frac{Ec_2}{(E-a)b} \sqrt{\gamma^2(L) + 1} + c_4 = 0.$$

Решение системы (7) сводится к решению системы двух уравнений относительно неизвестных  $\alpha = (bL + c_1)/c_2, \beta = c_1/c_2$ :

$$L(\alpha + \beta)/2 + E(\sqrt{1 + \alpha^2} - \sqrt{1 + \beta^2})/b = 0; \quad (8)$$

$$\alpha + \sqrt{1 + \alpha^2} - (\beta + \sqrt{1 + \beta^2}) e^{-Lb/E} e^{(E-a)(\alpha-\beta)/E} = 0. \quad (9)$$

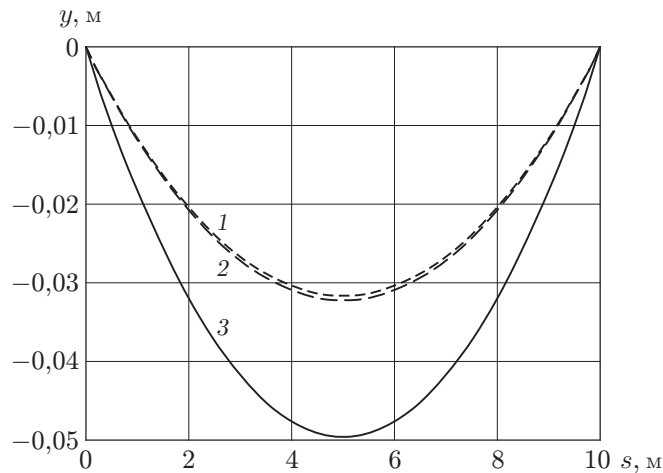


Рис. 3. Прогибы трубы, рассчитанные по “сложной” модели:  
 1 —  $v = 0$ ; 2 —  $v = 10$  м/с; 3 —  $v = 100$  м/с

Так как  $E \gg a$  и  $E \gg Lb$ , то, заменяя в (9)  $(E - a)/E$  на единицу и  $Lb/E$  на нуль, получаем приближенную систему, которая, как нетрудно установить, имеет только нулевое решение:  $\alpha = \beta = 0$ . Это означает, что решение системы уравнений (8), (9) нужно искать в окрестности нулевого значения переменных  $\alpha, \beta$ . Нелинейная система уравнений (8), (9) решается численно с использованием модифицированного метода Ньютона [2]:

$$\frac{dX}{d\tau} = -[DF(X)]^{-1}F(X),$$

где

$$F(\alpha, \beta) = \begin{pmatrix} (\alpha + \beta)/2 + (E/b)(\sqrt{1 + \alpha^2} - \sqrt{1 + \beta^2}) \\ \alpha + \sqrt{1 + \alpha^2} - e^{-Lb/E} e^{(E-a)(\alpha-\beta)/E} (\beta + \sqrt{1 + \beta^2}) \end{pmatrix}, \quad X = (\alpha, \beta)^T,$$

$DF(X)$  — матрица Якоби.

Оценки показывают, что при скорости движения жидкости  $v < 104,8$  м/с существует единственное решение системы (8), (9). В частности, при  $v = 100$  м/с  $\alpha = 0,0191846$ ,  $\beta = -0,0191851$ , при  $v = 10$  м/с  $\alpha = 0,0129065$ ,  $\beta = -0,0129068$ , при  $v = 0$   $\alpha = 0,0127113$ ,  $\beta = -0,0127114$ .

На рис. 3 приведены результаты расчетов по “сложной” модели при различных значениях скорости жидкости. Из рис. 2, 3 следует, что при  $v = 0$  распределения прогибов по длине трубы, полученные по двум моделям, близки, но уже при  $v = 10$  м/с значение максимального прогиба трубы, вычисленное с помощью “простой” модели, существенно больше значения этого параметра, полученного с использованием “сложной” модели. Повидимому, “сложная” модель является более точной, чем упрощенная, но утверждать это можно лишь при наличии экспериментальных данных.

При значении скорости жидкости  $v \approx 104,837$  м/с существует два решения системы (8), (9), а при  $v > 104,837$  м/с — три решения. В частности, при  $v = 105$  м/с  $\alpha = 0,0204542$ ,  $\beta = -0,0204549$ ;  $\alpha = -0,0113548$ ,  $\beta = 0,0113552$ ;  $\alpha = -0,0090985$ ,  $\beta = 0,0090987$ . На рис. 4 показаны формы трубы в состоянии равновесия, соответствующие этим трем решениям.

**4. Точное решение упрощенного уравнения “сложной” модели.** Предположим, что в уравнении (3)  $\partial y/\partial x \ll 1$ . Представляя второе слагаемое в правой части уравнения (3) в виде ряда Тейлора и отбрасывая члены выше четвертого порядка относительно

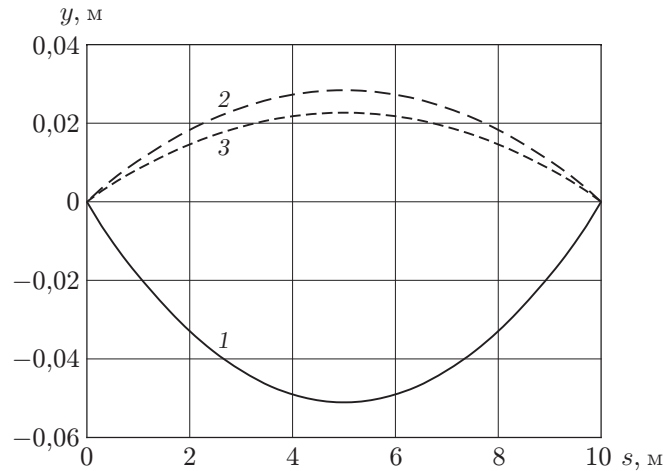


Рис. 4. Формы трубы, рассчитанные по “сложной” модели при  $v = 105$  м/с:  
 1 —  $\alpha = 0,0204542$ ,  $\beta = -0,0204549$ ; 2 —  $\alpha = -0,0113548$ ,  $\beta = 0,0113552$ ; 3 —  
 $\alpha = -0,0090985$ ,  $\beta = 0,0090987$

$\partial y / \partial x$ , получаем уравнение

$$\rho \frac{\partial^2 y}{\partial t^2} = \left[ \left( E + \frac{3}{2} \rho_0 v^2 \right) \left( \frac{\partial y}{\partial x} \right)^2 - \rho_0 v^2 \right] \frac{\partial^2 y}{\partial x^2} - \rho g. \quad (10)$$

Для уравнения (10) можно найти точное решение в виде полинома второй степени

$$y_1(x, t) = a_2(t)x^2 + a_1(t)x + a_0(t). \quad (11)$$

Подставляя  $y_1(x, t)$  в уравнение (10) и приравнивая коэффициенты при одинаковых степенях  $x$ , получаем систему обыкновенных дифференциальных уравнений для коэффициентов полинома (11)

$$a_2''(t) = qa_2^3(t); \quad (12)$$

$$a_1''(t) = qa_1(t)a_2^2(t); \quad (13)$$

$$a_0''(t) = \frac{q}{4} a_1^2(t)a_2(t) - \frac{2\rho_0 v^2}{\rho} a_2(t) - g, \quad q = \frac{8(E + (3/2)\rho_0 v^2)}{\rho}. \quad (14)$$

Уравнение (12) разрешимо в эллиптических функциях. Существует частное решение этого уравнения

$$a_2(t) = \sqrt{\frac{2}{q}} \frac{1}{t + A_1} \quad (15)$$

( $A_i$  ( $i \geq 1$ ) — произвольные постоянные). В этом случае уравнение (13) преобразуется в уравнение Эйлера, решение которого имеет вид

$$a_1(t) = A_2/(t + A_1) + A_3(t + A_1)^2. \quad (16)$$

Подставляя решения (15), (16) в уравнение (14), получаем

$$a_0(t) = \frac{A_3^2 \sqrt{2q}}{8} \left( \frac{t^5}{10} + \frac{A_1 t^4}{2} + A_1^2 t^3 \right) + \frac{A_3 \sqrt{2q}}{4} \left( \frac{A_3 A_1^2}{2} + A_2 \right) t^2 - \\ - p \sqrt{\frac{2}{q}} \left[ t \ln(t + A_1) + A_1 \ln(t + A_1) - t - A_1 \right] - \frac{gt^2}{2} + A_4 t + A_5,$$

где  $p = 2\rho_0/\rho$ . Найденное точное частное решение  $y_1(x, t)$  может быть использовано при тестировании численных методик, которые будут применяться при решении нестационарных задач о движении трубопровода.

**Заключение.** Предложена нелинейная модель трубопровода с движущейся по нему идеальной жидкостью, отличающаяся от линейной модели, рассмотренной в [1]. Это позволило решить ряд прикладных задач. Рассмотрены две модели (“простая” и “сложная”). Для “сложной” модели получено частное аналитическое решение. Для обеих моделей проведены расчеты состояния равновесия при различных значениях скорости движения жидкости по трубе.

## ЛИТЕРАТУРА

1. **Ткаченко О. П.** Движение подземного трубопровода с учетом конечности его перемещений // Вычисл. технологии. 2001. Т. 6, ч. 2 (спецвыпуск). С. 628–631.
2. **Пчелинцев М. В., Скоркин Н. А.** Геометрический смысл метода Ньютона // Вестн. Юж.-Урал. гос. ун-та. Сер. Математика, механика, физика. 2009. Вып. 1, № 22. С. 4–11.

*Поступила в редакцию 26/I 2011 г.,  
в окончательном варианте — 14/IV 2011 г.*

---